УДК 552.3/.4:551.763.2(470.44)

СЛЕДЫ ПИРОКЛАСТИКИ В САНТОН-КАМПАНСКИХ ОТЛОЖЕНИЯХ РАЗРЕЗА "ВИШНЕВОЕ" (СРЕДНЕЕ ПОВОЛЖЬЕ)

© 2012 г. С. О. Зорина*, Н. И. Афанасьева*, А. В. Жабин**

В статье приведены результаты комплексного литолого-аналитического изучения пород разреза "Вишневое". Методами рентгеновского фазового, полного химического и электронно-микроскопического анализов исследованы опоки, бентонитоподобные и глауконитовые глины. В породах разреза выявлен парагенез аутигенных минералов (опал-кристобалит-тридимит, смектит, клиноптилолит, глауконит) в ассоциации с полуразложившимися обломками вулканических стекол, представляющих собой "камуфлированную" пирокластику. Рассмотрен механизм образования опок и смектитовых глин – полимеризация и осаждение опал-кристобалит-тридимитовых глобуль, образование чешуйчатых агрегатов смектита из кремнистого, алюмокремнистого и ферриалюмокремнистого геля – продукта разложения вулканических стекол. Образование глауконитовых сферолитов связано с процессами дэпитизации метастабильных обломков силикатов. Установлена нестабильность структурного и физико-химического состояния минеральных компонентов пород, позволяющая прогнозировать их дальнейшее постседиментационное преобразование с возможным переходом в кремневые отложения с прослоями глауконитовых и бентонитовых глин.

Ключевые слова: опоки, глины, опал-кристобалит-тридимит, смектит, иллит, глауконит, вулканическое стекло, пирокластика, сантон-кампанские отложения, восток Русской плиты.

ВВЕДЕНИЕ

Известно, что вулканические извержения сопровождаются пеплопадами, причем эруптивное облако может распространяться на тысячи километров от вулкана. Так, в работе В.В. Пономаревой [27] приведены сведения о переносе пепловых туч на расстояние более 4500 км. Ф. Фанти реконструировано распространение пеплов, выброшенных вулканическими аппаратами Канадских Кордильер во внутренний Канадский бассейн, на расстояние до 1500—1800 км [39].

Такой дальний перенос объясняется тем, что пепловое облако сильного извержения, достигая верхних слоев атмосферы, попадает в струйные течения, которые и переносят тончайший пепел на огромные расстояния. После эолового переноса тефра, состоящая в основном из химически неустойчивого вулканического стекла и фемических силикатов, осаждается на земную или водную поверхность. В морском бассейне реакционно способный вулканокластический материал легко преобразуется в более устойчивые минеральные компоненты – так называемую "камуфлированную пирокластику" [14].

Несмотря на быстрые трансформации вулканокластических частиц, свидетельства разгрузки пепловых облаков — слои витрокластических туфов и "камуфлированной пирокластики" — обнаруживаются как в современных, так и в древних толщах Русской плиты.

Примеры глинизации и окремнения верхневендских (редкинских) туфов описаны Я.Э. Юдовичем и М.П. Кетрис [32]. В среднедевонской—среднекаменноугольной нефтепродуктивной толще востока Русской плиты, сложенной органогенными известняками, установлена примесь вулканического материала [16]. Специальными методами рентгеновской дифрактометрии выявлено, что он представлен продуктами преобразования вулканического пепла — "пепловым смектитом", смешаннослойным иллитом-смектитом, цеолитами, неустойчивыми аллотигенными силикатами и др.

Следы эффузивной деятельности в мезозое Русской плиты отмечались И.В. Ренгартен и К.И. Кузнецовой [29]. Пирокластический материал ими выявлен в нижне- и средневолжских мергелях и горючих сланцах в виде остроугольных осколков вулканических стекол с плоскораковистым изломом и газовыми включениями, и обломков свежих кристаллов пироксена, амфибола и

биотита. З.А. Яночкиной и Т.Ф. Букиной [34] при изучении цеолитсодержащих средневолжских горючих сланцев Заволжья установлена "камуфлированная пирокластика" — минеральная ассоциация (монтмориллонит, цеолиты, вулканическое стекло), косвенно свидетельствующая о влиянии на ход осадконакопления синхронных вулканических процессов.

Палеоценовые и эоценовые вулканические пеплы Поволжья фиксировались многими авторами. Наиболее детально они исследованы методами электронной микроскопии саратовскими литологами [2, 3]. В.И. Муравьевым с соавторами [25] в Южном Поволжье изучены позднепалеоценовые вулканические пеплы базальтоидного состава, сложенные черными и бурыми стеклами.

Морфоскопические особенности неогеновых и четвертичных вулканических пеплов Воронежской области описаны Г.В. Холмовым [30]. По результатам обработки электронно-микроскопических данных, им выделено восемь типов пепловых частиц. В.Ю. Лаврушиным с коллегами [17] обнаружены линзы пеплового материала в отложениях четвертичного возраста на правобережье Волги между Волгоградом и Астраханью.

В 2008 году нами был изучен вещественный состав многочисленных фрагментов верхнемеловых и палеоценовых литостратонов, распространенных на востоке и юго-востоке Русской плиты [11]. Установлено повсеместное присутствие в породах цеолитов, которые, наряду с бентонитоподобным глинистым веществом и вулканическими стеклами, представляют собой "камуфлированную" пирокластику (по А.Г. Коссовской, [14]).

В настоящей статье приведены новые данные о пепловых слоях, обнаруженных нами в сантон-кампанской толще разреза "Вишневое" (правобережье Волги в 80 км к ССЗ от Саратова).

Наибольший интерес в изучении вещественного состава пепловых слоев представляет вопрос о трансформациях исходного вулканического материала в новые, более устойчивые минеральные компоненты. Тем самым, появляется возможность прогнозировать дальнейшие преобразования горной породы во времени.

ИСХОДНЫЕ ДАННЫЕ И МЕТОДИКА

Разрезу верхнемеловых отложений "Вишневое" уделяется пристальное внимание биостратиграфов с начала XXI в. В 2007 г. А.Г. Олферьевым с коллегами была опубликована статья по результатам послойного литологического описания и детального биостратиграфического расчленения сеноманмаастрихтской толщи, составляющей данный разрез [26]. Однако изучение вещественного состава пород с применением комплекса современных методов исследования вещества до последнего времени не проводилось.

В 2009 г. разрез "Вишневое" был задокументирован и опробован для проведения аналитических исследований авторами настоящего сообщения. Причем при литологическом описании нами была проведена точная увязка опробуемых слоев со слоями А.Г. Олферьева и соавторов [26]. Этим была обеспечена возможность использования надежного хроностратиграфического каркаса при реконструкции условий формирования рассматриваемой осадочной последовательности.

Разрез находится в овраге, открывающемся на северную окраину д. Вишневое Петровского района Саратовской области (рис. 1). При его обследовании было установлено, что для поверхностного изучения доступен фрагмент верхнемеловой толщи, охватывающий верхи коньякского, сантонский и кампанский ярусы.

По разрезу было отобрано 17 точечных проб для исследования вещественного состава пород комплексом аналитических методов, включающим полный химический (ПХА), рентгеновский количественный фазовый (РКФА) и электронномикроскопический анализы.

Первоначально все 17 проб были проанализированы в АТСИЦ ФГУП "ЦНИИгеолнеруд" методами ПХА и РКФА для определения химических и минеральных компонентов, слагающих исследованные образцы. Затем отдельные пробы с повышенными содержаниями смектита, иллита, цеолитов и опал-кристобалит-тридимитовой (ОКТ) фазы были переданы для исследований электронномикроскопическим и рентгеновским фазовым анализом в Воронежский госуниверситет. Параллельно проведено описание зерен глауконита под бинокуляром МБС-9.

Химический состав пород определен методом атомно-эмиссионной спектроскопии с индуктивносвязанной плазмой на спектрометре "Optima 2000DV" (Perkin-Elmer) (аналитик О.А. Медведева). Рентгенографический анализ выполнен на аппаратурно-программном комплексе на базе рентгеновского дифрактометра D8 Advance (Bruker Axs, Германия) (аналитики Ф.А. Рахимова, В.В. Власов – АТСИЦ ФГУП "ЦНИИгеолнеруд") и на базе дифрактометра ARL XTRA (Воронежский госуниверситет). Электронно-микроскопические изображения получены на растровом электронном микроскопе Jeol 6380-LV.

Полевые названия пород были уточнены и существенно детализированы по данным РКФА на основе общепринятых классификаций [31]. Нами приняты следующие наименования второстепенных компонентов пород: песчаный, алевритовый, глинистый, известковый, глауконитовый, смектитовый, цеолитовый, иллитовый, кремнистый — при содержании соответствующего компонента в пределах 25–50%; песчанистый, алевритистый, слабо глинистый, известковистый, глауконитсодержа-

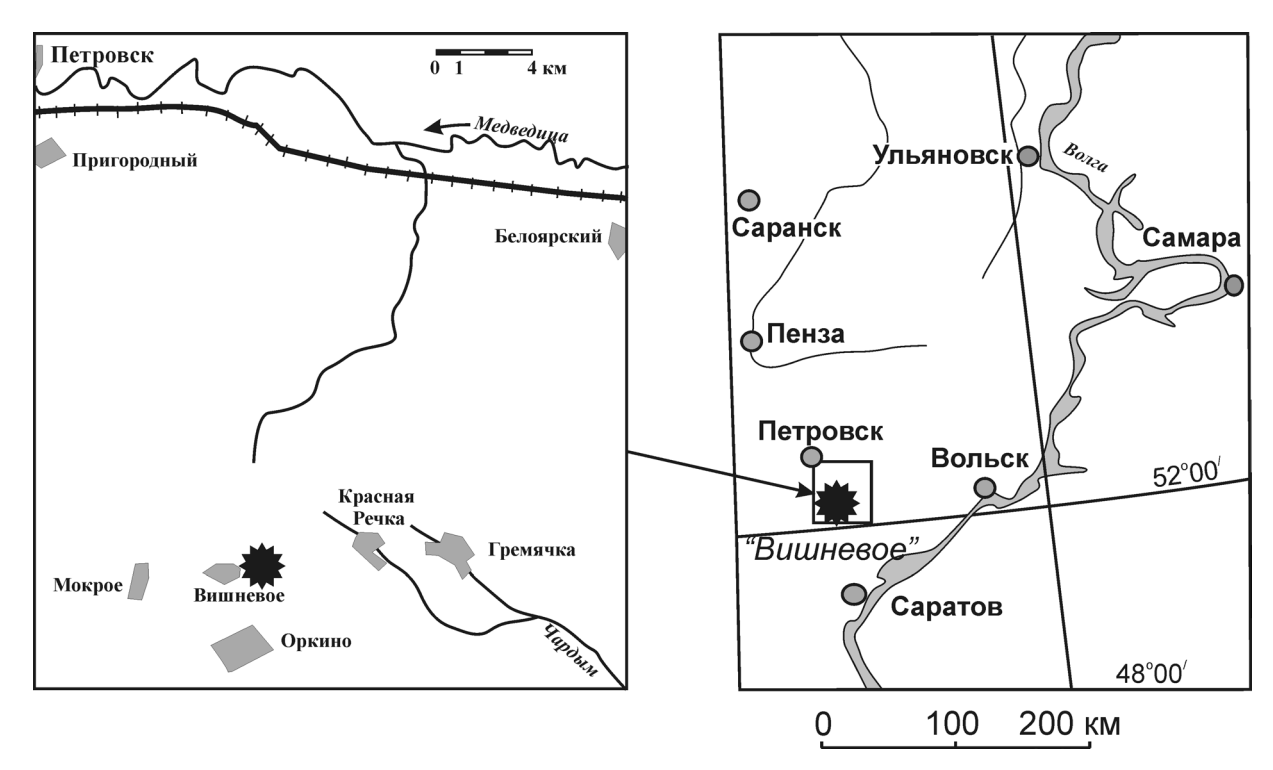


Рис. 1. Схема расположения разреза "Вишневое".

щий, смектитсодержащий, цеолитистый, иллитсодержащий, слабо кремнистый — при содержании 5-25%.

Полученные литолого-аналитические данные позволили реконструировать особенности условий формирования опок, смектитовых и глауконитовых глин разреза "Вишневое", выделить признаки наличия в них пирокластического материала.

РЕЗУЛЬТАТЫ И ИХ ОБСУЖДЕНИЕ

Литологическое строение разреза. Строение изученного фрагмента разреза "Вишневое" приведено на рис. 2. По результатам РКФА (табл. 1) и ПХА (табл. 2) установлено, что базальными образованиями являются фосфоритсодержащие ($P_2O_5-8\%$) песчаники борисоглебской толщи среднеговерхнего коньяка [26], видимой мощностью 3.0 м. Выше, со следами перерыва и размыва, залегает можжевелоовражная свита нижнего сантона, мощностью 14.7 м, представленная неравномерно глинистыми и цеолитистыми опоками с прослоями (мощностью 0.5–0.7 м) зеленовато-серых и черных смектитовых глин.

Верхнесантонская мезинолапшиновская свита, мощностью 11.9 м, залегает на можжевелоовражной с признаками перерыва и представляет собой широко распространенную на востоке Русской плиты "полосатую серию" сантона. В разрезе "Вишневое" она представлена равномерным переслаиванием известковистых опок и иллит-смектитовых из-

вестковистых глин (мощностью 0.1–0.3 м) с прослоями (мощностью до 4.0 м) глауконитовых глин.

Нижне-верхнекампанская рыбушкинская свита, сложенная в данном разрезе песчаниками [26], оказалась задернованной и выпала из опробования. Верхнекампанская ардымская свита, мощностью 8.0 м, представлена опоками слабоглинистыми с прослоями мергелей глауконитсодержащих.

Венчает разрез верхнекампанская налитовская свита, видимой мощностью 4.0 м, сложенная цеолитистыми мергелями с прослоями черной иллитсмектитовой глины.

Анализ распределения содержаний минеральных (табл. 1) и химических (табл. 2) компонентов позволил выделить следующие разновидности пород, слагающих разрез: опоки, смектитовые и глауконитовые глины.

Опоки преобладают в сантон-кампанской части разреза (слои 4, 6, 7, 10, 13, 16). Визуально это светло-серые, крепкие, массивные породы, с раковистой поверхностью скола, с крупными пятнами темно-серого халцедоновидного окремнения, в центральной части которых локализованы мельчайшие кристаллики кварца.

В составе опок (пробы 4, 13 и 15) в качестве основного минерального компонента установлена ОКТ-фаза (75–93%), являющаяся квазикристаллической формой кремнезема и характеризующаяся на рентгенограмме сильным и широким рефлексом 3.88–4.35 Å и более слабым рефлексом – 2.50–2.51 Å. Отмечается присутствие кальцита (3.04,

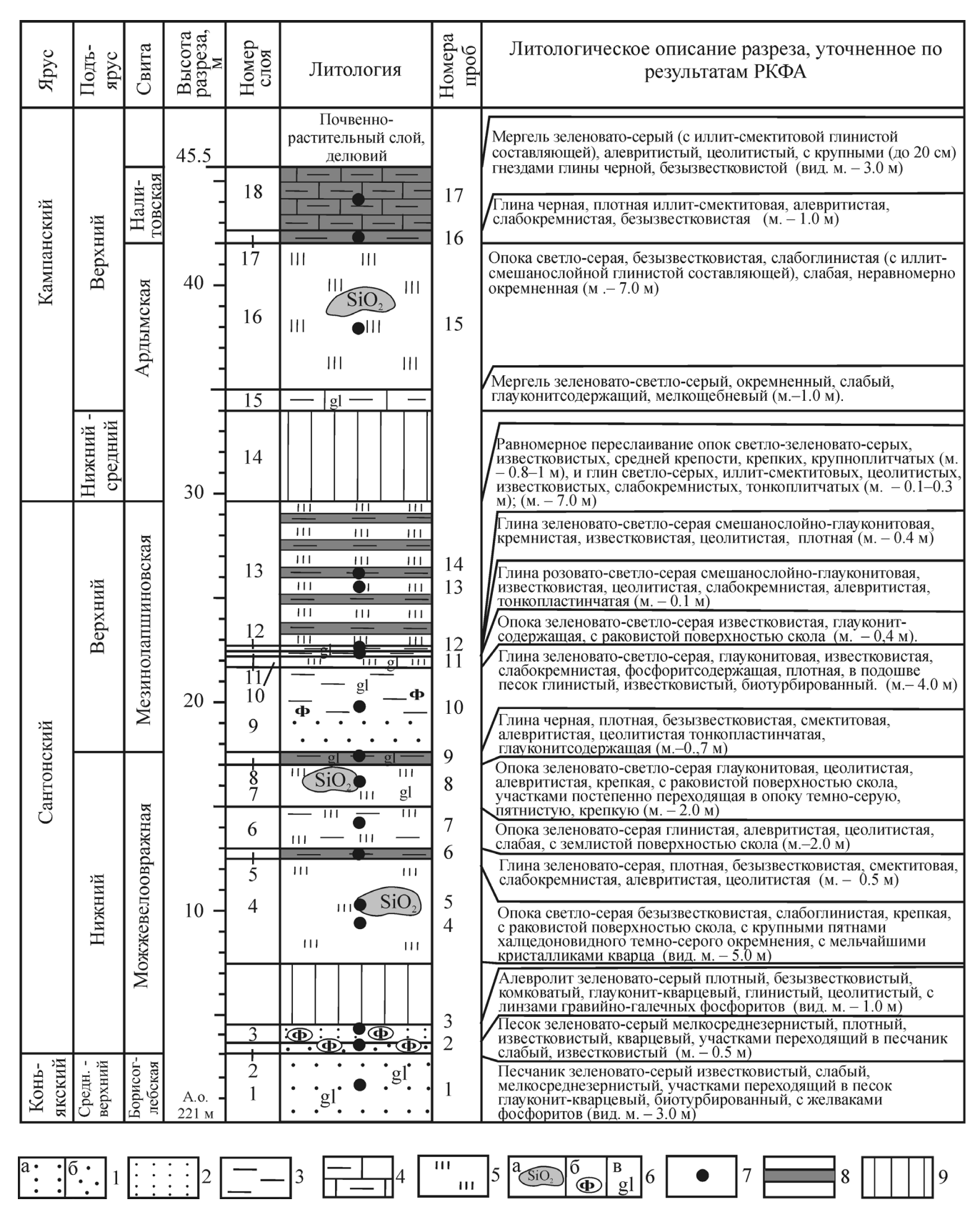


Рис. 2. Строение разреза верхнемеловых пород у д. Вишневое.

1 — песчаные отложения: а — песчаник, б — песок; 2 — алевролит; 3 — глина; 4 — мергель; 5 — опока; 6 — включения: а — пятна окремнения, б — галька фосфоритов, в — глауконит; 7 — точка опробования; 8 — смектитсодержащие (пепловые) слои; 9 — задернованные интервалы; м. — мощность, вид. м. — видимая мощность.

Таблица 1. Минеральный состав пород разреза "Вишневое" (по данным РКФА)

| | | _ | | 1 | | | | | | | | | | | | | | |
|--------------------|--------------------------------|-----------------------------------|---|----------------------|-------------------------|----------------------|---|-----------------------------------|-------------------------------------|---------------------------------|----------------------------------|--|------------------------------------|----------------------|----------------------|----------------------------------|--|---|
| Содержание, мас. % | OKT | | 9 | 75 | 17 | 93 | 33 | 5 | 9 | | 50 | 43 | 15 | 77 | 81 | 7 | 3 | |
| | фосфо- рит | | | | | | 4 | 4 | 5 | | | | 2 | | | 7 | 7 | ∞ |
| | цео- | 14 | 4 | | 23 | | 7 | 13 | 3 | 14 | 11 | 10 | 7 | | | 22 | 7 | 2 |
| | поле- вой шпат | 3 | v | - | 1 | | - | | | 5 | _ | 7 | 7 | | | 4 | 9 | 2 |
| | кварц | 12 | 9 | ε | 2 | 1 | 7 | 2 | 7 | 10 | 6 | 6 | 11 | 4 | 4 | 40 | 70 | 64 |
| | каль- | 35 | - | _ | 18 | 9 | 6 | 23 | 14 | 1 | _ | | 1 | | | | 12 | 24 |
| | иллит | 5 | 41 | W | 9 | | 31 | 26 | 70 | 4 | 29 | 13 | 4 | 19 | 15 | 7 | | |
| | смешано- слойный минерал | | | 15 | | | 13 | 24 | | | | 23 | | | | 18 | | |
| | смектит | 30 | 64 | | 33 | | | | | 99 | | | 59 | | | | | |
| Название породы | | мергель алевритистый, цеолитистый | глина иллит-смектитовая, алевритистая, слабокремнистая | опока слабоглинистая | глина иллит-смектитовая | опока известковистая | глина смешанослойно-глауконитовая, кремнистая | глина смешанослойно-глауконитовая | глина глауконитовая, известковистая | глина смектитовая, алевритистая | опока глауконитовая, цеолитистая | опока глинистая, алевритистая, цеолитистая | глина смектитовая, слабокремнистая | опока слабоглинистая | опока слабоглинистая | алевролит глинистый, цеолитистый | песок известковистый, фосфоритсодержащий | песчаник известковистый, фосфоритсодержащий |
| | Номер Пробы | 17 | 16 | 15 | 14 | 13 | 12 | 11 | 10 | 6 | ∞ | | 9 | 5 | 4 | ю | 7 | - |
| Свита | Свита | | -Нали- товская | Ар- дым- ская | | пап- | овон | | | | Rí | зжиз | oBbs | вепо | кже | ωM | | Бори- |
| | пэдтО | | йинхq | | динжинй Верхний | | | | | | | | | Сред верх. | | | | |
| | Spyc | | панский | Сантонский | | | | | | | | | | -дно Михожк | | | | |

Примечание. ОКТ – опал-кристобалит-тридимитовая фаза.

| Номер | SiO ₂ | TiO ₂ | Al_2O_3 | Fe ₂ O ₃ | FeO | MnO | CaO | MgO | Na ₂ O | K ₂ O | P_2O_5 | SO ₃ | ппп | Сумма |
|-------|------------------|------------------|-----------|--------------------------------|------|------|-------|------|-------------------|------------------|----------|-----------------|-------|--------|
| пробы | | | | | | | | | | | | | | |
| 17 | 39.45 | 0.48 | 7.61 | 4.26 | 0.29 | 0.02 | 23.33 | 1.33 | 0.20 | 1.66 | 0.12 | 0.05 | 21.28 | 100.03 |
| 16 | 61.90 | 0.55 | 14.01 | 8.46 | 0.59 | 0.01 | 1.71 | 3.03 | 0.08 | 3.08 | 0.25 | 0.05 | 6.31 | 99.98 |
| 15 | 84.43 | 0.26 | 6.39 | 1.95 | 0.19 | 0.01 | 1.09 | 1.09 | 0.02 | 0.87 | 0.07 | 0.05 | 3.67 | 100.03 |
| 14 | 49.00 | 0.33 | 8.03 | 3.69 | 0.25 | 0.02 | 18.39 | 1.57 | 0.04 | 1.25 | 0.16 | 0.05 | 17.28 | 100.01 |
| 13 | 83.17 | 0.08 | 2.02 | 0.62 | 0.12 | 0.01 | 6.30 | 0.24 | 0.01 | 0.29 | 0.74 | 0.05 | 6.37 | 99.95 |
| 12 | 62.48 | 0.13 | 4.76 | 4.49 | 0.47 | 0.01 | 11.91 | 1.39 | 0.03 | 1.85 | 1.66 | 0.06 | 10.76 | 100.00 |
| 11 | 40.50 | 0.15 | 6.03 | 6.58 | 0.67 | 0.02 | 20.86 | 2.12 | 0.05 | 2.80 | 2.44 | 0.05 | 17.79 | 100.01 |
| 10 | 46.36 | 0.07 | 5.86 | 9.74 | 0.91 | 0.01 | 14.80 | 2.68 | 0.04 | 3.98 | 3.26 | 0.06 | 12.22 | 99.99 |
| 9 | 67.51 | 0.62 | 12.42 | 5.13 | 0.64 | 0.01 | 2.30 | 2.00 | 0.01 | 1.94 | 0.18 | 0.05 | 7.25 | 100.00 |
| 8 | 85.92 | 0.28 | 4.00 | 1.43 | 0.41 | 0.01 | 2.08 | 0.18 | 0.01 | 1.03 | 0.13 | 0.05 | 4.30 | 99.76 |
| 7 | 83.50 | 0.41 | 6.51 | 2.03 | 0.44 | 0.01 | 1.05 | 0.50 | 0.01 | 1.37 | 0.03 | 0.12 | 4.04 | 100.01 |
| 6 | 68.69 | 0.66 | 12.44 | 4.91 | 0.64 | 0.01 | 1.87 | 1.68 | 0.01 | 1.97 | 0.18 | 0.06 | 6.89 | 100.00 |
| 5 | 89.27 | 0.19 | 3.52 | 1.34 | 0.37 | 0.01 | 0.84 | 0.17 | 0.01 | 0.68 | 0.16 | 0.13 | 3.37 | 100.05 |
| 4 | 88.40 | 0.18 | 3.15 | 1.33 | 0.41 | 0.01 | 1.19 | 0.88 | 0.01 | 0.63 | 0.45 | 0.05 | 3.30 | 99.93 |
| 3 | 77.91 | 0.41 | 6.74 | 2.50 | 0.63 | 0.02 | 3.44 | 0.78 | 0.01 | 1.64 | 1.51 | 0.05 | 4.43 | 100.01 |
| 2 | 75.70 | 0.11 | 2.20 | 0.97 | 0.50 | 0.01 | 10.00 | 0.07 | 0.01 | 0.76 | 2.50 | 0.05 | 6.75 | 99.57 |
| 1 | 66.33 | 0.06 | 1.17 | 0.40 | 0.43 | 0.02 | 16.81 | 0.03 | 0.01 | 0.35 | 4.17 | 0.10 | 10.18 | 100.05 |

Таблица 2. Химический состав пород разреза "Вишневое" (мас. % на абсолютно сухую навеску)

2.50 Å), кварца (3.35 Å), иллита (8.79, 5.01, 3.34 Å) (рис. 3а-в). В пробе 15 диагностируется смешанослойный минерал, представляющий собой чередование слоев смектита и слюды.

Нанопетрографическое изучение опок при увеличении 4500 показало, что они сложены плотной кремнистой массой, представленной скоплениями и сростками леписферических "ежиков" ОКТ (размером 2–4 микрон), плавно переходящими в гелевидную кремнистую массу, плотнолистоватые агрегаты глауконита (рис. 4а), полурастворившиеся вулканические стекла и чешуйчатые новообразования смектита (рис. 4б). На электронномикрокопических снимках отчетливо фиксируется метастабильное состояние породы.

Смектитовые (бентонитоподобные) глины. Прослои смектитовых глин выявлены во всех трех свитах сантон-кампанского интервала разреза "Вишневое". В 10-метровой толще опок нижнесантонской можжевелоовражной свиты их зафиксировано два (слои 5 и 8): в средней части разреза — прослой глины зеленоватосерой, плотной, безызвестковистой, смектитовой, слабокремнистой, алевритистой, цеолитистой (мощностью 0.5 м) и в кровле свиты — прослой глины черной, плотной, безызвестковистой, алевритистой, смектитовой, деолитистой, тонкопластинчатой (мощностью 0.7 м).

Верхняя половина верхнесантонской мезинолапшиновской свиты (мощностью 7 м) представлена равномерным переслаиванием опок светлозеленовато-серых, известковистых, средней крепости, крупноплитчатых (мощностью 0.8-1 м) и глин светло-серых иллит-смектитовых, цеолитистых, известковистых, слабокремнистых тонкоплитчатых (мощностью 0.1-0.3 м). Разрез верхнекампанской налитовской свиты представлен глиной черной плотной алевритистой иллитсмектитовой, слабокремнистой, безызвестковистой (мощностью 1.0 м), перекрытой мергелем зеленоватосерым алевритистым цеолитистым видимой мощностью 3.0 м, с иллит-смектитовой глинистой составляющей, с крупными (до 20 см) гнездами глины черной, безызвестковистой.

По данным РКФА, содержание смектита в пробах 6, 9, 14 и 16 (рис. 2, табл. 1) составляет 33–66%, что позволяет отнести их к бентонитоподобным глинам. Минеральная ассоциация вышеупомянутых образцов достаточно однородна. Они представлены смектитом (диагностический рефлекс с межплоскостным расстоянием 12.34 Å), иллитом (10.14, 4.99, 3.34 Å), цеолитом из группы клиноптилолита-гейландита (8.89, 7.89, 3.94 Å), кварцем (3.34 Å) (рис. 3г).

На электронно-микроскопических снимках проб 9 и 14 (рис. 4в, г), полученных при увеличении 4 тыс. и 10 тыс., отчетливо фиксируется характерная для смектита хлопьевидная масса, "обволакивающая" обломки вулканических стекол, неровные края которых просматриваются в этих чешуйчатых скоплениях.

Глауконитовые глины приурочены преимущественно к верхнесантонской части разреза (слои 9, 11, 12). В обнажении они выделяются как зеленовато-светлосерые глауконитсодержащие, известковистые, неравномерно кремнистые, тонкопластинчатые мощностью от 0.1 до 4.0 м.

Под бинокуляром зерна глауконита имеют темнозеленую окраску, неправильную форму, матовую, реже глянцевую бугорчатую поверхность. У значительной части зерен наблюдаются трещины синерезиса, заполненные белым материалом, представленным, возможно, фосфатными минералами. Размеры зерен варьируют в пределах 0.2–0.4 мм, реже – до 0.05 мм.

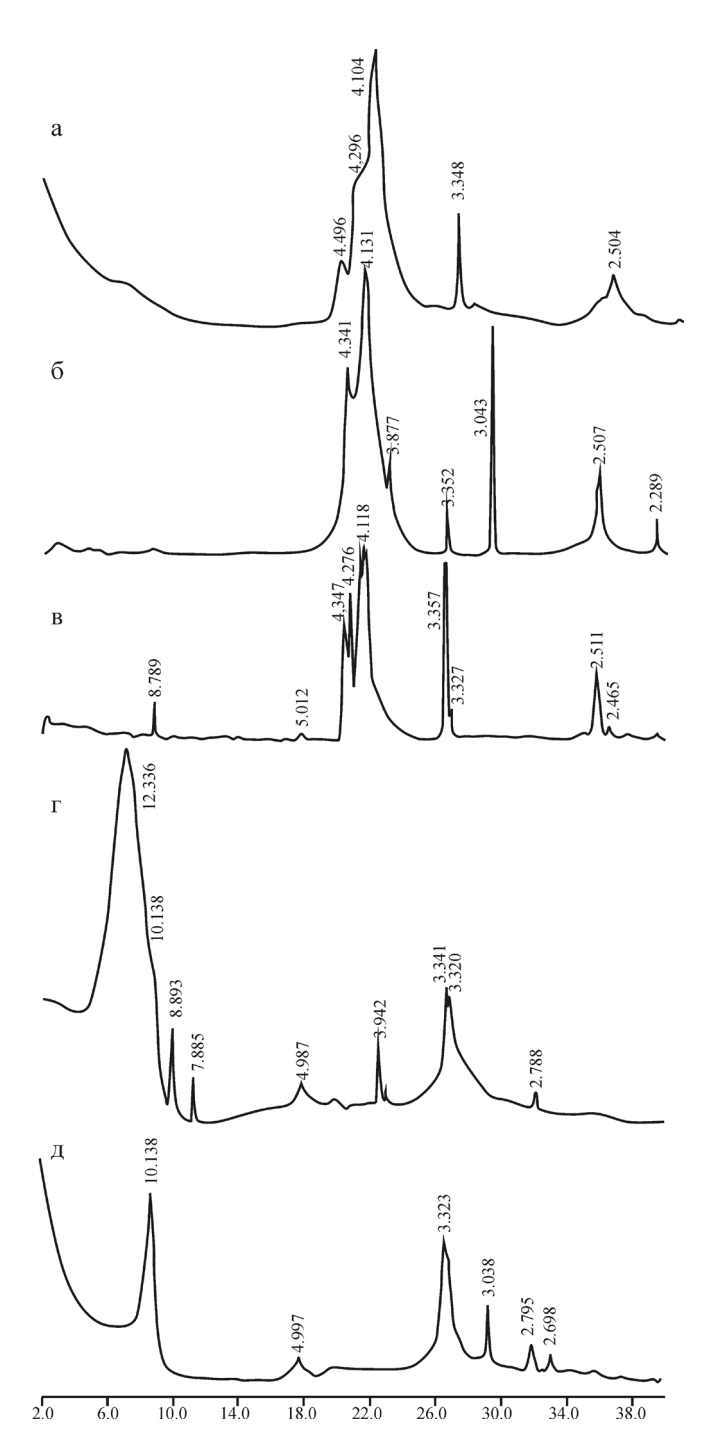


Рис. 3. Дифрактограммы опок и глин разреза "Вишневое".

а – верхнекампанская слабоглинистая опока (проба 15),

По данным РКФА, содержание иллита в пробах 10, 11 и 12 составляет 26–70% (табл. 1). Смектит входит в состав смешанослойных минералов, содержание которых достигает 24%. Диагностика ил-

лита в ориентированном препарате проведена по достаточно интенсивному базальному (d_{001}) рефлексу $10.14~{\rm \AA}$ и характерным диагностическим рефлексам $4.99,\,3.32~{\rm \AA}$ (рис. 3д). Минеральная ассоциация данных глин включает также кальцит ($3.04~{\rm \AA}$), клиноптилолит ($8.89,\,7.89,\,3.94~{\rm \AA}$) и др.

Нанопетрографическое изучение глауконитовой глины (проба 10) при увеличении 7.5 и 20 тыс. по-казало, что глауконит представлен глобулярными плотнолистоватыми агрегатасми смектита-иллита (с размерами отдельных листочков до 1–2 микрон), среди которых обособляются частично растворенные обломки кокколитов, вулканические стекла с оплавленными краями (рис. 4д, е) и новообразованный по вулканическим стеклам смектит.

Следы пирокластики. По результатам проведенных исследований установлено, что изученные породы включают прямые и "закамуфлированные" признаки присутствия пирокластического материала. К прямым признакам относится широко распространные в опоках и глинах обломки вулканических стекол, по которым развивается новообразованный смектит. На электронно-микроскопических снимках зафиксировано, что стекла во всех исследованных образцах имеют оплавленные края, а на отдельных участках их очертания едва просматриваются из-за хлопьевидных агрегатов смектита и гелевидных сгустков кремнезема и леписфер ОКТ, с которыми стекла не имеют четких границ, плавно переходя в них. Таким образом, показано, что источником смектита и ОКТ как в опоках, так и в глинах является растворяющийся материал вулканических стекол.

Следующим признаком первично вулканогенной природы породообразующего материала является присутствие в глинах и опоках клиноптилолита [15, 21, 22].

В минеральной ассоциации пород, слагающих рассматриваемую толщу, как уже было отмечено, большую роль играет глауконит. О парагенезе глауконита с минералами типично вулканогенно-осадочного генезиса и его связи с вулканизмом неоднократно упоминалось исследователями [5, 14, 19, 35]. В качестве одного из механизмов образования глауконита в литературе описывается выпадение смектит-иллитовых глобуль из кремнистожелезистого геля, образующегося за счет растворения вулканических стекол [20].

Весьма вероятный, на наш взгляд, механизм глауконитообразования рассматривает концепция дэпитизации [1, 7, 18, 28]. Она заключается в преобразовании твердого вещества, находящегося в неустойчивом состоянии, путем его растворения и осаждения в новой форме на поверхностях раздела, т.е. при деструкционно-эпитаксиальном преобразовании твердых тел. Привлечение процессов дэпитизации для решения проблемы генезиса глауконита позволяет объяснить образо-

б – верхнесантонская известковистая опока (проба 13),

в – нижнесантонская слабоглинистая опока (проба 4),

г – нижнесантонская смектитовая глина (проба 9), д – верхнесантонская глауконитовая глина (проба 10).

ЗОРИНА и др.

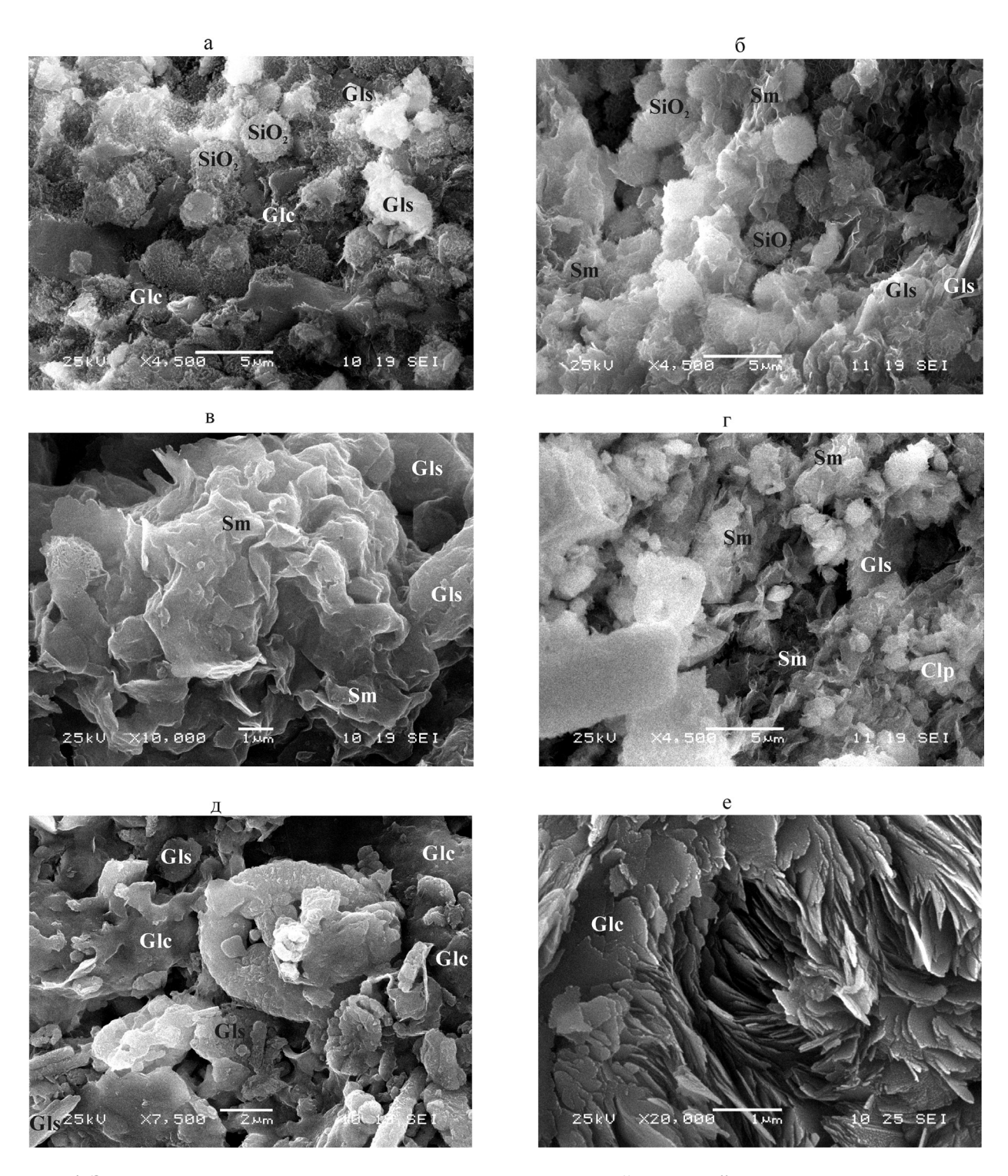


Рис. 4. Электронно-микроскопические снимки опок и глин разреза "Вишневое".

а – нижнесантонская слабоглинистая опока (проба 4), б – верхнекампанская слабоглинистая опока (проба 15), в – нижнесантонская смектитовая глина (проба 9), г – верхнесантонская гидрослюдисто—смектитовая глина (проба 14), д, е – верхнесантонская глауконитовая глина (проба 10). Sm – смектит, Glc – глауконит, Clp – клиноптилолит, Gls – вулканическое стекло.

вание сферолитов по любым обломкам силикатов, неустойчивым в среде морского осадка [5, 7]. Ими могут быть вулканический пепел, остатки кремниевых скелетов организмов и т.п.

Присутствие щелочной пирокластики в изученных породах подтверждается и косвенными признаками. Так, А.Г. Коссовской с соавторами [15], а затем Ю.Э. Юдовичем и М.П. Кетрис [32] указано,

что повышенная магнезиальность глинистых морских осадков является индикатором областей проявления основного щелочного вулканизма. В изученном разрезе повышенная магнезиальность (свыше 2% MgO) установлена в пробах сантонских и верхнекампанских бентонитоподобных и глауконитовых глин (табл. 2): в пробе 9-2.0%, в пробе 10-2.68%, в пробе 11-2.12%, в пробе 16-3.03%. Все четыре пробы представлены смектитовыми и глауконитовыми глинами, которые, как было показано выше, являются продуктами диагенетического преобразования вулканического пепла.

РЕКОНСТРУКЦИЯ УСЛОВИЙ ФОРМИРОВАНИЯ И ПРЕОБРАЗОВАНИЯ ПОРОД

Несмотря на полученные в рамках настоящего исследования и существующие прежде [3, 8–10, 12–15, 21–24] убедительные доказательства образования рассматриваемой минеральной ассоциации из кремнистого, алюмокремнистого и ферриалюмокремнистого геля, коллоидальные квазиглобулярные массы которого фиксируются на всех полученных электронно-микроскопических снимках, вопросы механизма образования и генезиса опок, бентонитовых глин и глауконита остаются дискуссиоными. Причина этого заключается, с одной стороны, в отсутствии на Русской плите позднемеловых вулканических аппаратов, поставлявших пепловый материал в бассейн седиментации, а с другой – в стойком убеждении многих исследователей в невозможности переноса пеплового материала на расстояния до тысячи и более километров. В начале настоящего сообщения было показано, что механизм дальнего переноса пепловых масс доказан и научно обоснован, и, более того, подтверждается актуалистически. Кроме того, Я.Э. Юдович и М.П. Кетрис [33] не исключают возможности продолжения длительной подводной гидротермальной деятельности после завершения активной фазы эксплозивного вулканизма, что приводило, по их мнению, к переносу течениями значительных масс кремнезема на большие расстояния.

По результатам недавно проведенного изучения палеоценовых опок разреза "Каменный Яр" [9] был выявлен парагенез аутигенных минералов (ОКТ, клиноптилолит, смектит, в ассоциации с вулканическими стеклами), аналогичный установленному в опоках разреза "Вишневое". Данная минеральная ассоциация, в совокупности с результатами модульной обработки литохимии [32], позволила рассмотреть каменноярскую опоковую толщу как продукт гипергенеза вулканических пеплов, перенесенных водными массами на юго-восток Русской плиты из областей активного вулканизма — вероятнее всего, Малого Кавказа [6, 42].

Таким образом, наиболее вероятным меха-

низмом образования опок, на наш взгляд, является диагенетическое преобразование пепловых частиц в кремнистый, алюмокремнистый и ферриалюмокремнистый гель с дальнейшей полимеризацией кремнезема, сопровождающейся глинизацией и цеолитизацией илов [8, 32, 45]. Колломорфное кремнистое вещество, как неустойчивая физикохимическая субстанция, подвергается постепенной раскристаллизации [24] с образованием сначала ОКТ-фазы, а затем — кварца. Стадийное "старение" кремнистых пород реконструировано Вон Радом с соавторами [44]. Оно во многом объясняет отсутствие опок в геологических разрезах древнее мезозоя.

Глауконит, структура которого также нестабильна, образуется, возможно, при деструкционноэпитаксиальном преобразовании обломков метастабильных силикатов. Данный минерал представляет непрерывный ряд неупорядоченных диоктаэдрических слюда-смектитовых образований, в которых при все более интенсивном вовлечении катионов калия в структуру минерала происходит увеличение количества слюдистых пакетов. Структура глауконита, таким образом, становится более упорядоченной, а сам минерал — более зрелым [20, 41]. Характерной особенностью глауконита является постепенное увеличение его зрелости, степень которой отражает длительность периода "ненакопления" перед захоронением осадка [36].

Еще одним продуктом преобразования вулканических пеплов в разрезе "Вишневое" являются смектитовые (бентонитоподобные) глины [6, 33, 37, 38, 40, 43]. Причем, если в нижнесантонских отложениях смектитсодержащие слои единичны, то верхнесантонская "полосатая серия" представляет собой равномерное переслаивание опок и смектитовых глин. Верхнекампанские отложения включают наиболее мощный (до 4 м) смектитсодержащий горизонт, мергельная часть которого является свидетельством "разбавления" пеплового материала карбонатной составляющей и затухания вулканической активности [33].

Учитывая физико-химическую и структурную нестабильность практически всех породообразующих компонентов разреза "Вишневое", нетрудно предположить, что в геологическом будущем породы претерпят переход к более устойчивому состоянию и преобразуются в кремневую толщу с прослоями глауконитовых и бентонитовых глин.

ВЫВОДЫ

- 1. По результатам изучения вещественного состава коньяк-кампанского фрагмента разреза "Вишневое" установлено, что он представлен опоками с прослоями бентонитоподобных и глауконитовых глин.
- 2. Выявленный парагенез аутигенных минералов (ОКТ, смектит, клиноптилолит, глауконит) на-

ходится в ассоциации с полурастворившимися обломками вулканических стекол, являясь продуктами их постседиментационного преобразования, т.е. "камуфлированной" пирокластикой.

3. Наиболее вероятным механизмом образования минеральных компонентов опок рассмотренного разреза является полимеризация и осаждение ОКТ, образование чешуйчатых агрегатов смектита из кремнистого, алюмокремнистого и ферриалюмокремнистого геля — продукта разложения вулканических стекол. Сферолиты глауконита сформировались при дэпитизации обломков метастабильных силикатов.

Авторы благодарят Ф. Фанти (Университет Болонии, Италия) за помощь с литературой, А.А. Сабитова (ФГУП ЦНИИгеолнеруд) и глубокоуважаемого рецензента за ценные замечания, устранение которых способствовало улучшению статьи; аналитиков АТСИЦ ЦНИИгеолнеруд за проведение лабораторных исследований на высоком методическом уровне.

СПИСОК ЛИТЕРАТУРЫ

- 1. *Алесковский В.Б.* Химия твердых веществ. М.: Высшая школа, 1978. 225 с.
- 2. *Ахлестина Е.Ф., Иванов А.В.* Атлас кремнистых пород мела и палеогена Поволжья. Саратов: ГосУНЦ "Колледж", 2000. 166 с.
- 3. Ахлестина Е.Ф., Курлаев В.И. о цеолитоносности пепловых отложений Саратовского и Волгоградского Поволжья // Тр. конф. по вопросам геологии, физикохимических свойств и применения природных цеолитов. Тбилиси: МЕЦНИЕРЕБА, 1985. С. 41–44.
- Гептнер А.Р., Ивановская Т.А. Глауконит из морских нижнемеловых терригенных отложений Англии (концепция биохемогенного генезиса) // Литология и полез. ископаемые. 2000. № 5. С. 487–499.
- Гептнер А.Р., Ивановская Т.А., Покровская Е.В., Кураленко Н.П. Глауконит из вулкано-терригенных отложений палеогена Западной Камчатки // Литология и полез. ископаемые. 2008. № 3. С. 255–279.
- 6. Дзоценидзе Г.С. Роль вулканизма в образовании пород и руд. М.: Недра, 1969. 344 с.
- Жабин А.В., Савко А.Д. Глаукониты Воронежской антеклизы // Очерки региональной геологии. Саратов: Наука, 2008. С. 48–56.
- 8. Зорина С.О., Афанасьева Н.И. Киевские глины последствие эоценового пеплопада на юго-востоке Русской плиты // Природа и экономика Кузбасса и сопредельных территорий: мат-лы Всерос. науч. конф. Т. 1. Новокузнецк: КузГПА, 2010. С. 43–47.
- 9. Зорина С.О., Афанасьева Н.И. Минеральный состав и литохимия палеоценовых опок разреза "Каменный Яр" (Астраханская область) // Проблемы минералогии, петрографии и металлогении. Научные чтения памяти П.Н. Чирвинского. Вып. 14. Пермь: ПГУ, 2011. С. 124–131.
- 10. Зорина С.О., Афанасьева Н.И. Пепловые слои в сантон-кампанских отложениях разреза "Вишневое" (Саратовская область) // Палеонтология, стра-

- тиграфия мезозоя и кайнозоя бореальных районов: мат-лы науч. сессии. Т. 1. Мезозой / Под ред. Б.Н. Шурыгина, Н.К. Лебедевой, А.А. Горячевой. Новосибирск: ИНГГиГ СО РАН, 2011. С. 106—109.
- Зорина С.О., Афанасьева Н.И., Волкова С.А. Цеолитоносность верхнемеловых-палеогеновых осадочных пород востока и юго-востока Русской плиты // Литология и полез. ископаемые. 2008. № 6. С. 638–649.
- 12. *Калуцкая С.А.* Бентонитовые глины кайнозоя Воронежской антеклизы // Бентониты. М.: Наука, 1980. С. 64–73.
- 13. *Калуцкая С.А*. Вулканогенное происхождение бентонитов палеогена и неогена Воронежской антеклизы // Новое в современной литологии. М.: Наука, 1981. С. 88–91.
- 14. *Коссовская А.Г.* Генетические типы цеолитов стратифицированных формаций // Литология и полез. ископаемые. 1975. № 2. С. 23–44.
- 15. Коссовская А.Г., Гущина Е.Б., Дриц В.А. и др. Минералогия и генезис мезозойско-кайнозойских отложений Атлантического океана по материалам рейса 2 "Гломар Челленджер" // Литология и полез. ископаемые. 1975. № 6. С. 12–35.
- 16. *Кринари Г.А., Королев Э.А., Пикалев С.Н.* Вулканокластический материал в палеозойской толще Татарстана: методы выявления и роль в нефтедобыче // Литосфера. 2003. № 1. С. 27–38.
- 17. Лаврушин В.Ю., Лаврушин Ю.А., Кулешов В.Н., Антилов М.П. Первая находка вулканического пепла в четвертичных отложениях Нижнего Поволжья // Литология и полез. ископаемые. 1998. № 2. С. 207–218.
- 18. *Лебедев В.И.* О механизме преобразования кристаллических веществ в процессах эпигенеза явлении дэпитизации // Вестник Ленинградского ун-та. 1981. № 12. С. 21–35.
- Липкина М.И. Глауконит продукт подводного вулканизма // Литология и полез. ископаемые. 1980. № 4. С. 44–54.
- Лисицына Н.А., Бутузова Г.Ю. К вопросу о генезисе океанических глауконитов // Литология и полез. ископаемые. 1981. № 5. С. 91–97.
- 21. *Муравьев В.И.* О генезисе опок // Литология и полез. ископаемые. 1973. № 4. С. 94–106.
- 22. *Муравьев В.И.* О природе глобулярного опала в опоках и трепелах // Докл. АН СССР. 1975. Т. 222, № 3. С. 684–686.
- 23. Муравьев В.И. Минеральные парагенезы глауконитово-кремнистых формаций. М.: Наука, 1983. 208 с.
- 24. *Муравьев В.И.* Вопросы абиогенного осадочного кремненакопления // Происхождение и практическое использование кремнистых пород. М.: Наука, 1987. С. 86–96.
- 25. *Муравьев В.И., Цеховский Ю.Г., Ахлестина Е.Ф. и др.* Вулканические пеплы базальтового состава из палеоценовых отложений южного Поволжья // Литология и полез. ископаемые. 1997. № 3. С. 327–330.
- 26. Олферьев А.Г., Беньямовский В.Н., Вишневская В.С. и др. Верхне-меловые отложения северо-запада Саратовской области. Статья 1. Разрез у д. Вишневое. Лито- и биостратиграфический анализ // Стратиграфия. Геологическая корреляция. 2007. Т. 15. № 6. С. 62–109.
- 27. Пономарева В.В. Крупнейшие эксплозивные вулканические извержения и применение их тефры для

- датирования и корреляции форм рельефа и отложений // Автореф. дисс. ... докт. географ. наук. М.: Институт географии РАН, 2010. 53 с.
- Поспелов Г.Л. Парадоксы, геолого-физическая сущность и механизмы метасоматоза. Новосибирск: Наука, 1973. 355 с.
- Ренгартен И.В., Кузнецова К.И. Пирокластический материал в позднеюрских осадках Русской платформы // Докл. АН СССР. 1967. Т. 173, № 6. С. 1422–1425.
- Холмовой Г.В. Морфоскопические особенности неогеновых и четвертичных вулканических пеплов Воронежской области // Вестник ВГУ. Сер. Геология. 2008. Вып. 1. С. 19–22.
- 31. *Шванов В.Н., Фролов В.Т., Сергеева Э.И. и др.* Систематика и классификации осадочных пород и их аналогов. СПб.: Недра, 1998. 352 с.
- 32. *Юдович Я.Э., Кетрис М.П.* Основы литохимии. СПб.: Наука, 2000. 479 с.
- Юдович Я.Э., Кетрис М.П. Геохимические и минералогические индикаторы вулканогенных продуктов в осадочных толщах. Екатеринбург: УрО РАН, 2010. 412 с.
- 34. Яночкина З.А., Букина Т.Ф. Цеолитовая минерализация в горючих сланцах Волжского бассейна // Тр. конф. по вопросам геологии, физико-химических свойств и применения природных цеолитов. Тбилиси: МЕЦНИЕРЕБА, 1985. С. 45–48.
- 35. *Білоніжка П.М.* Сліди вулканізму в палеогенових відкладах Гірського Криму (за даними мінералогічних досліджень) // Вісник Львів. ун-ту. Серія геологогічна. 2002. Вип. 16. С. 96–101.

- Amorosi A. Glaucony and verdine // Encyclopaedia of Sediments and Sedimentary Rocks / G.V. Middleton (ed.). Dordrecht: Kluwer Academic Publishers, 2003. P. 331–333.
- 37. *Bates R., Jackson J.* Glossary of Geology. Third Edition. American Geological Institute Alexandria. Virginia, 1987. 788 p.
- 38. *Byrne P.* Bentonite in Alberta // Research Council of Alberta. Rep. 1955. V. 71. P. 1–20.
- 39. *Fanti F.* Bentonite chemical features as proxy of Late Cretaceous provenance changes: A case study From Western Interior Basin of Canada. Sediment. Geol. 2009. V. 217. P. 112–127.
- 40. *Grim R.E., Güven N.* Bentonites. New York: Elsevier, 1978. 256 p.
- 41. *Odin G.S., Matter A.* De glauconiarum origine // Sedimentology. 1981. V. 28. P. 611–641.
- 42. Ross C.S.Provenience of pyroclastic materials // GSA Bulletin. 1955. V. 66. № 4. P. 427-434.
- 43. Thomas R., Eberth D., Deino A., Robinson D. Composition, radioisotopic ages, and potentional significance of an altered volcanic ash (bentonite) from the Upper Cretaceous Judith River Formation, Dinosaur Provincial Park, southern Alberta, Canada. Cretaceous Research. 1990. V. 11. P. 125–162.
- 44. *Von Rad U., Riech V. and Rősch H.* Silica diagenesis in continental margin sediments of Northwest Africa. DSDP. 1978. V. XLI. P. 879–905.
- 45. Williams L.A., Crerar D.A. Silica diagenesis. II. General Mechanism. J. Sediment. Petrol. 1985. V. 55, №. 3. P. 312–321.

Рецензент Г.А. Мизенс

Traces of pyroclastics in Santonian-Campanian deposits ("Vishnevoje" section, the Middle Volga)

S. O. Zorina*, N. I. Afanasjeva*, A. V. Zhabin**

*Central Scientific Research Institute of Geology of Industrial Minerals

** Voronezh State University

The results of complex lithological and analytical research of "Vishnevoje" section rocks are given in the article. The gaizes, bentonite-like and glauconitic clays were investigated by X-ray phase analysis, complete chemical analysis and the electron microscopy ones. The parageneses of authigenic minerals (opal-CT, smectite, clinoptilolite, glauconite) in association with semi-decomposed fragments of volcanic glasses is identified as "camouflage" pyroclastics. The provenance of the gaizes, and smectite clays as a result of polymerization and precipitation opal-CT globules, origin of scaly smectite aggregates from the silica, alumo-silica and ferrialumo-silica gel (the volcanic glass decomposition products) is considered. The glauconite globules formation mechanism based on depitization processes of metastable silicates detrites. The instability of structural and physicochemical state of the mineral components allowed prediction of further postsedimentation transformation of studied rocks to the cherty deposits interbedded with glauconitic and bentonite clays.

Key words: gaizes, clays, opal-CT, smectite, glauconite, volcanic glass, pyroclastics, the Santon-Cmpanian deposites, Russian Plate.